



## تحلیل دینامیکی و بررسی ارتعاشات کوپل ملخ گام متغیر

سیدعلی موسوی<sup>1</sup>، محمد رضا الهامی<sup>2\*</sup>

1- دانشجوی کارشناسی ارشد، مهندسی مکانیک، دانشگاه جامع امام حسین (ع)، تهران

2- استادیار، مهندسی مکانیک، دانشگاه جامع امام حسین (ع)، تهران

\* تهران، صندوق پستی 15861-16987

melhami@ihu.ac.ir

### چکیده

ملخ‌های گام متغیر به دلیل استفاده در بالگردهای پیشرفته، جهت حصول به راندمان بیشتر، پایداری بهتر و دستیابی به ارتفاعات بالاتر مورد استفاده قرار می‌گیرد، به همین دلیل در این مقاله به بررسی رفتار این نوع ملخ‌ها با جابه‌جایی غیرخطی کوپل شده سه درجه آزادی پرداخته شده است. بر این اساس رفتار ملخ گام متغیر بر حسب تغییرات مرکز الاستیک، طول، جرم، سرعت، شعاع ژبراسیون قطبی، سختی‌های موجود در سه درجه آزادی و گام بررسی شده است. در مقاله حاضر جهت استخراج فرکانس‌های طبیعی از روش گالرکین استفاده شده و نتایج بدست آمده با نتایج گزارش شده توسط محققان دیگر مورد ارزیابی قرار گرفته است، همچنین نتایج به خوبی گواه بر همگرایی و دقت روش به کار رفته دارد، مشخص شد که پارامترهای جرم، طول و سرعت دورانی ملخ بر فرکانس‌های طبیعی تمامی مودهای ارتعاشی پره ملخ تأثیر دارند، ولی سایر پارامترها به جز زاویه تغییر گام بر فرکانس‌های مودهای زوج یا فرد تأثیرگذار است، همچنین در بررسی‌های انجام شده بر زاویه تغییر گام مشخص شد که این پارامتر در حالت استاتیکی بر فرکانس‌های طبیعی هیچ‌گونه تأثیری ندارد، ولی در حالت دوران ملخ، بر فرکانس‌های طبیعی مودهای ارتعاشی به صورت سینوسی یا کسینوسی تأثیرگذار است.

### اطلاعات مقاله

مقاله پژوهشی کامل

دریافت: 13 خرداد 1394

پذیرش: 28 تیر 1394

ارائه در سایت: 24 مرداد 1394

کلید واژگان:

بالگرد، ملخ

گام متغیر

گالرکین

ارتعاشات کوپل

## Dynamic Analysis and Coupled Vibration of Variable pitch Propeller

Seyed Ali Mousavi, Mohamad Reza Elhami\*

Department of Mechanical Engineering, Faculty of Engineering, Imam Hossein University, Tehran, Iran.

\* P.O.B. 15861-16987, Tehran, Iran, melhami@ihu.ac.ir

### ARTICLE INFORMATION

Original Research Paper

Received 03 June 2015

Accepted 19 July 2015

Available Online 15 August 2015

**Keywords:**  
Helicopter  
Propeller  
Variable Pitch  
Galerkin  
Coupled vibration

### ABSTRACT

Variable pitch propeller (VPP) is used in advanced helicopters in order to achieve greater efficiency, better stability and attain higher altitudes. This study assesses the behavior of VPP propeller with coupled non-linear displacement in three degrees of freedom. Accordingly, the behavior of this type of propeller with changes of elastic axis distance, length, mass, speed, polar radius of gyration, stiffness in three degrees of freedom, and pitch have been investigated. In this paper, Galerkin method is used to extract natural frequencies and the results compared with the results reported by other researchers. The results show convergence and accuracy of the used method. In this study, it was found that parameters of mass, length and rotational speed of the propeller have an effect on the natural frequencies, and all modes of vibration. However, other parameters except for the pitch angle effect on the odd or even number of frequency modes. It was also found that the pitch angle in the static mode does not influence on natural frequencies, but in the case of rotation of propeller, affects the natural frequency of vibration modes as sine or cosine form.

تغییر می‌کند که این می‌تواند سبب ناپایداری و ایجاد پدیده‌هایی مانند تشدید در ملخ شود و اگر ارتعاشات ملخ با روش‌های مناسب کنترل نشود، سبب اختلال در عملکرد بالگرد، خستگی زودرس قطعات و درنتیجه کاهش عمر سیستم شده و حتی ممکن است سبب شکست پره و سقوط بالگرد شود. از سوی دیگر نیز کاهش ارتعاشات ملخ سبب افزایش راحتی خدمه و کنترل پذیری بهتر بالگرد می‌شود.

در بررسی ارتعاشات ملخ بالگردها، معمولاً پره‌های آن به عنوان یک تیر دورانی در نظر گرفته می‌شود و معادلات حاکم بر تیرهای دورانی برای آنها استفاده می‌شود.

- **1- مقدمه**  
امروزه در بالگردها و پهباشدای پیشرفته به دنبال پیشرفت تکنولوژی ساخت ملخ‌ها، در کنار ملخ‌های گام ثابت (متعارف)، ملخ‌های گام متغیر نیز ساخته شده‌اند. در این نوع ملخ‌ها زاویه حمله پره ملخ متغیر و قابل کنترل بوده که به دنبال آن پیمایش یا گام پره، در حرکت افقی (رو به جلو) تغییر می‌یابد در نتیجه به وسیله این ملخ‌ها می‌توان گام متناسب و بهینه را به پره‌های آن داد تا بدین‌وسیله با دور کمتر موتور، راندمان، تراست و در نتیجه سرعت و ارتفاع بیشتر را (ضمن کنترل و پایداری بهتر) در بالگرد ایجاد کرد. بر همین اساس در اثر استفاده از این نوع ملخ‌ها ارتعاشات و فرکانس‌های طبیعی پره‌های ملخ

Please cite this article using:

S. A. Mousavi, M. R. Elhami, Dynamic Analysis and Coupled Vibration of Variable pitch Propeller, *Modares Mechanical Engineering*, Vol. 15, No. 9, pp. 170-178, 2015 (In Persian)

برای ارجاع به این مقاله از عبارت ذیل استفاده نمایید:

[DOR: 20.1001.1.10275940.1394.15.9.52.4]

چرخشی به بررسی ارتعاشات عرضی ملخ و محور آن پرداختند. بیشاب و همکارانش [21] با ترکیب تئوری تیر اویلر برنولی انعطاف‌پذیر و تئوری سن‌ونان برای پیچش، به بررسی ارتعاشات خمی پیچشی تیر یکنواخت پرداختند و اثرات پیچش سطح مقطع را نیز مورد بررسی قرار دادند. جان و همکارانش [22] به بررسی ارتعاشات کوپل تیر یکنواخت جدار نازک اویلر برنولی پرداختند. تیر درنظر گرفته شده توسط ایشان لاشکل و نامتقارن بود. آن‌ها با استفاده از روش ماتریس انتقال فرکانس‌های طبیعی و شکل مودهای این سیستم را در شرایط مرزی گوناگون بررسی کردند و همچنین اثرات بار محوری و سفتی پیچشی بر فرکانس‌های طبیعی این نوع تیر را مطالعه کردند. یاردیموگلو و همکارش [23] مدل المان محدودی را برای ارتعاشات کوپل تیر تیموشینکو نامتقارن، با زاویه پیچش اولیه ارائه کردند. عناصر المان محدود آن‌ها دارای دو گره با هفت درجه آزادی بودند که با درنظر گرفتن اثرات تغییر شکل برشی و دوران سطح مقطع ماتریس‌های سفتی و جرمی حاصل را اصلاح کردند. کوکداج و همکارش [24] به بررسی ارتعاشات آزاد و اجباری خمی - پیچشی یک تیر دارای جرم اضافه در انتهای و ابتدای پرداختند و اثرات جرم اضافه در انتهای تیر، فنرهای خطی و پیچشی متصل به آن را بر فرکانس‌های طبیعی و شکل مودهای، برای دو تیر جدار نازک گیریدار با سطح مقطع نیم‌دایره و لاشکل مورد مطالعه قرار دادند. پاتل و دارپ [25] به بررسی قابلیت اطمینان و سلامت یک روتور دورانی پرداختند. ایشان با درنظر گرفتن مدل ارتعاشی خمی و پیچشی یک روتور دارای ترک و سایش، پاسخ فرکانسی آن را در حضور و غیاب این پارامترها به وسیله روش المان محدود بررسی کرد. روس [26] در مقاله‌ای به بررسی ارتعاشات کوپل تیر یکنواخت دارای بار جانبی پایدار پرداخت و معادلات حرکت ارتعاشات را با استفاده از تئوری اویلر - برنولی - لاسو و اصل کار مجازی استخراج کرد و با استفاده از حل کلوز فرم به بررسی ارتعاشات تیر متقارن با شرایط مرزی ساده تحت بار خمی یکنواخت پرداخت.

در کارهای گذشته عموماً ارتعاشات پره‌ها به عنوان تیرهای دورانی به صورت جداگانه در جهات مختلف و یا در دو جهت به صورت کوپل همراه با ساده‌سازی‌های فراوان مورد بررسی قرار گرفته است. در مقاله حاضر سعی شده تمامی پارامترهای مؤثر در ارتعاشات ملخ با کمینه ساده‌سازی بررسی شود و همچنین تغییر گام در ارتعاشات ملخ لحظه گردد که این امر سبب پیچیدگی بیشتر موضوع می‌گردد و از سوی دیگر نیز سعی شده، ارتعاشات این نوع ملخ‌ها به صورت واقعی و کوپل شده در تمامی جهات یعنی خمی خارج از صفحه دوران، خمی داخل صفحه دوران و پیچشی مورد بررسی قرار گیرد. در این راستا در گام نخست به امر ارتعاشات آزاد ملخ گام متغیر پرداخت شده تا با توجه به شرایط موجود در گام بعد تغییرات فرکانس‌های طبیعی ملخ در اثر تغییرات مرکز الاستیک، طول، جرم، سرعت، شاعع ژیراسیون قطبی، سختی‌های موجود در سه درجه آزادی و گام بررسی شود.

## 2- استخراج معادلات حرکت ملخ

با توجه به شکل 1 هر پره چرخان ملخ با سرعت زاویه‌ای  $\omega$  دارای سه محور مرکز جرم، فشار (حاصل از دوران) و الاستیک است که این محورها با توجه به مراکز جرم، فشار و سطح هر مقطع ملخ رسم می‌شود. در این سیستم، مبدأ مختصات ملخ در ابتدای ریشه آن و منطبق بر محور الاستیک است. برای یک مقطع پره ملخ شکل 2 با درنظر گرفتن شرایط تنش صفحه‌ای (یا صرف نظر از تغییر شکل بسیار کوچک برشی عرضی) روابط کلی کرنش و تنش برحسب تغییر شکل‌های  $W$  و  $\theta$  به صورت معادلات (۲،۱) خواهد بود

هوبولت و بروکس [1] نخستین کسانی بودند که معادلات دیفرانسیل را برای حرکات خمی طولی، خمی عرضی و پیچش به همراه زاویه پیچشی اولیه به دست آوردند. پره درنظر گرفته شده توسط هوبولت و بروکس به صورت غیریکنواخت بود. متأسفانه حل تحلیلی و دقیق برای معادلات بالا تقریباً غیرممکن بود؛ بنابراین روش‌های متعددی برای حل تقریبی این معادلات ارائه شد.

هانتر [2]، وايت و مالتینو [3] روش ماتریس انتگرالی<sup>1</sup> را برای حل معادلات بالا ارائه کردند، همچنین مورسی [5,4] علاوه بر روش پیش از روش دیگری به نام انتقال ماتریسی<sup>2</sup> برای به دست آوردن فرکانس‌های طبیعی و خصوصیات دینامیکی پره استفاده کرد. رایت و همکاران [6] تحلیل دینامیکی تیرهای دورانی دارای توزیع جرم و سختی خطی را با استفاده از سری‌های فربینیوس انجام دادند در این روش معادله دیفرانسیل حرکت به طور مجزا درنظر گرفته شده و در جواب معادله به صورت تابعی از سری‌های فربینیوس فرض شده است.

ردی [7] روش‌های گالرکین، رایلریتز و باقی مانده‌های وزنی را برای محاسبه فرکانس‌های طبیعی تیرها ارائه کرده و این روش‌ها را مورد مقایسه قرار داده است.

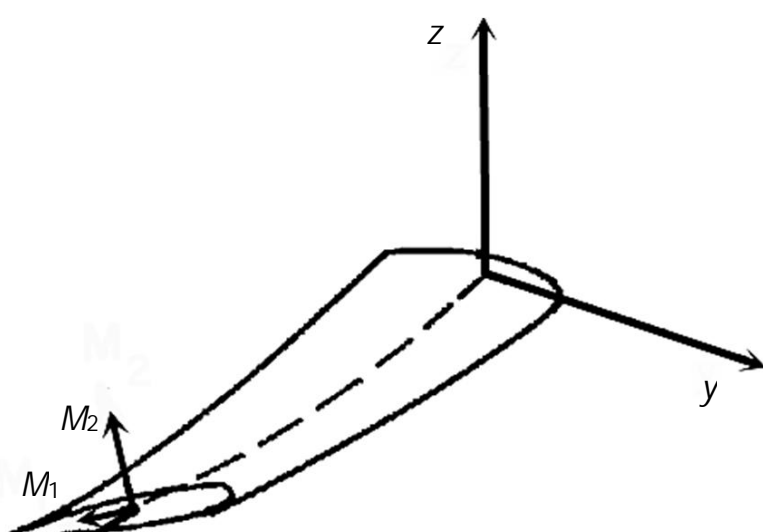
سوریس و همکاران [8] ارتعاشات خمی - پیچشی تیر دارای زاویه پیچش اولیه را به کمک توابع انتگرالی گرین تحلیل کردند. بازنون [9] روابط بین فرکانس‌های طبیعی خارج صفحه و داخل صفحه دوران را برحسب ضرایب ساوتول<sup>3</sup> مورد بحث قرار داد و همچنین بازنون و همکاران [10] در مقاله‌ای مشخصه‌های ارتعاشی یک تیر تیموشینکو با سطح مقطع متغیر را با استفاده از روش المان محدود بررسی کردند.

هو و شین [11] معادلات حرکت را به صورت جداگانه برای یک پره دوران در خمی خارج از صفحه و خمی درون صفحه استخراج و بسامدهای آن را محاسبه کردند. برامول [12] به استخراج معادلات دیفرانسیل خارج از صفحه و داخل صفحه پره‌های روتور بالگرد پرداخته و روش‌های انرژی و مایکل استاد را برای حل این معادلات ارائه کرد. در این راستا موسوی و همکاران در مقالاتی [14,13] به چگونگی تست و آنالیز مودال پره‌های بالگرد در جهات خمی خارج و داخل صفحه دوران پرداختند و نتایج تست تجربی را با نتایج المان محدود مورد مقایسه قرار دادند.

لين و همکاران [15] به بررسی پایداری و ارتعاشات آزاد تیر همگن دوران با شرایط مرزی الاستیک و دارای زاویه پیچش اولیه پرداخته، همچنین در تحقیق محزایی [16] به بررسی ارتعاشات آزاد تیر غیرهمگن دارای زاویه پیچش اولیه و جرم مرکز در انتهای پرداخته است و تحلیل دینامیکی جرم مرکز را همراه با اثر استهلاکی نیز بررسی [17] و تابع گرین را برای این تیر به دست آورده است. رائو و گوپتا [18] روش المان محدود را برای به دست آوردن فرکانس‌های طبیعی و شکل مودهای تیر دورانی با سطح مقطع متغیر به کار برندند. معینی فرد و همکارانش [19] در مقاله‌ای به بررسی ناپایداری دینامیکی تیرهای با مقاطع متغیر در اثر تحريكات آيروديناميکي و باد پرداختند و الگوريتم جديدي جهت حل فرکانس‌ها و شکل مودها با توجه به اثرات موجود براساس فضای حالت ارائه کردند.

واریکو و هادارا [20] با استفاده از دیدگاه نیوتن به بررسی ارتعاشات ملخ یک درجه آزادی پرداختند، ایشان با درنظر گرفتن تغییر شکل برشی، اینرسی

1- IMM  
2- TMM  
3- South Well



شکل 3 ممان‌های داخلی مقطع پره ملخ

که  $I_1$  و  $I_2$  ممان اینرسی محورهای اصلی و  $B_1$  و  $B_2$  ثابت‌های سطح مقطع پره است.

جهت سهولت در تعادل بین ممان‌ها و نیروها از ممان‌های موازی و عمود بر محورهای اصلی  $M_x$ ,  $M_y$  و  $M_z$  استفاده می‌شود. با فرض کوچک‌بودن  $\phi$ ، رابطه (9) برای ممان‌های محورهای اصلی به دست می‌آید.

$$\begin{aligned} M_x &= Q + M_1(\cos\beta - \phi\sin\beta)v' \\ &\quad + M_1(\sin\beta - \phi\cos\beta)w' + M_2(\sin\beta - \phi\cos\beta)v' \\ &\quad - M_2(\cos\beta - \phi\sin\beta)w' \end{aligned} \quad (9)$$

$$\begin{aligned} M_y &= M_1(\cos\beta - \phi\sin\beta) + M_2(\sin\beta + \phi\cos\beta) - Qv' \\ M_z &= -M_1(\sin\beta + \phi\cos\beta) + M_2(\cos\beta - \phi\sin\beta) - Qw' \end{aligned} \quad (9)$$

با جایگزینی معادلات (8-6) در معادله (9) و همچنین ساده‌سازی و حذف عبارت‌های مرتبه 2، ممان‌های بالا بر حسب مؤلفه‌های جابه‌جایی به صورت روابط (12-10) است.

$$\begin{aligned} M_x &= [GJ + TK_A^2 + EB_1(\beta')^2]\phi' + TK_A^2\beta' \\ &\quad - EB_2\beta'(v''\cos\beta + w''\sin\beta) - Te_A v'\sin\beta \\ &\quad + Te_A w'\cos\beta \end{aligned} \quad (10)$$

$$\begin{aligned} M_y &= (EI_1\cos^2\beta - EI_2\sin^2\beta)w'' + (EI_2 - EI_1) \\ &\quad \sin\beta\cos\beta v'' - (Te_A + EB_2\beta'\phi')\sin\beta - \\ &\quad Te_A\phi\cos\beta \end{aligned} \quad (11)$$

$$\begin{aligned} M_z &= (EI_2 - EI_1)\sin\beta\cos\beta w'' \\ &\quad + (EI_1\sin^2\beta + EI_2\cos^2\beta)v'' \\ &\quad - (Te_A + EB_2\beta'\phi')\cos\beta + Te_A\phi\sin\beta \end{aligned} \quad (12)$$

معادلات تعادل نیز به صورت رابطه (13) تعریف می‌شوند [1].

$$\begin{aligned} M'_x - M'_y v' + M'_z w' - \bar{q}_y v' + \bar{q}_z w' + \bar{q}_x &= 0 \\ M''_y - (Tw')' + \bar{q}_y' - \bar{p}_z &= 0 \\ M''_z - (Tv')' + \bar{q}_z' - \bar{p}_y &= 0 \end{aligned} \quad (13)$$

با جایگزینی روابط (12-10) در معادلات تعادل روابط (14-16) حاصل خواهد شد.

$$\begin{aligned} -\left([GJ + TK_A^2 + EB_1(\beta')^2]\phi' + TK_A^2\beta'\right. \\ \left.- EB_2\beta'(v''\cos\beta + w''\sin\beta)\right)' \\ + Te_A v''\sin\beta - Te_A w''\cos\beta \\ - \bar{q}_y v' + \bar{q}_z w' + \bar{q}_x = 0 \end{aligned} \quad (14)$$

$$\begin{aligned} [(EI_1\cos^2\beta + EI_2\sin^2\beta)w'' + (EI_2 - EI_1)\sin\beta\cos\beta v'' \\ - (Te_A + EB_2\beta'\phi')\sin\beta - Te_A\phi\cos\beta]' - (Tw')' + \bar{q}_y' \\ - \bar{p}_z = 0 \end{aligned} \quad (15)$$

$$\begin{aligned} [(EI_2 - EI_1)\sin\beta\cos\beta w'' + (EI_1\sin^2\beta + EI_2\cos^2\beta)v'' \\ - (Te_A + EB_2\beta'\phi')\cos\beta + Te_A\phi\sin\beta]' - (Tv')' + \bar{q}_z' - \bar{p}_y \\ = 0 \end{aligned} \quad (16)$$

$$\varepsilon = -\varepsilon_T + (e_A - \eta)(v''\cos\beta + w''\sin\beta) \quad .[1]$$

$$+ \xi(v''\sin\beta + w''\cos\beta) + (\xi^2 + \eta^2 - K_A^2)\beta'\phi' \quad (1)$$

$$\sigma = E[-\varepsilon_T + (e_A - \eta)(v''\cos\beta + w''\sin\beta) \\ + \xi(v''\sin\beta + w''\cos\beta) \\ + (\xi^2 + \eta^2 - K_A^2)\beta'\phi'] \quad (2)$$

در این روابط  $\varepsilon_T$  کرنش حاصل از فشار دوران ( $\varepsilon_T = \frac{T}{EA}$ ) است و  $e_A$  فاصله بین مرکز فشار و مرکز الاستیک سطح مقطع پره،  $\beta$  زاویه حمله یا تغییر گام ملخ،  $K_A$  شعاع زیراسیون قطبی سطح مقطع پره حول محور الاستیک آن است.

مطابق شکل 3 جهت محاسبه ممان‌ها، تنش‌های توزیع شده در طول المان ملخ به دو جزء یکی در راستای محور الاستیک و دیگری عمود بر آن به صورت روابط (4.3) تجزیه شده است.

$$M_1 = - \int_{\eta_{te}}^{\eta_{le}} \int_{-t/2}^{t/2} \sigma \xi d\xi d\eta \quad (3)$$

$$M_2 = - \int_{\eta_{te}}^{\eta_{le}} \int_{-t/2}^{t/2} \sigma \eta d\xi d\eta \quad (4)$$

علامت منفی به این دلیل انتخاب شده که وقتی ممان فشاری است علامت آن مثبت شود و ممان پیچشی نیز به صورت رابطه (5) تعریف می‌شود.

$$Q = GJ\phi' + \int_{\eta_{te}}^{\eta_{le}} \int_{-t/2}^{t/2} \sigma(\beta + \phi)'(\eta^2 + \xi^2) d\xi d\eta \quad (5)$$

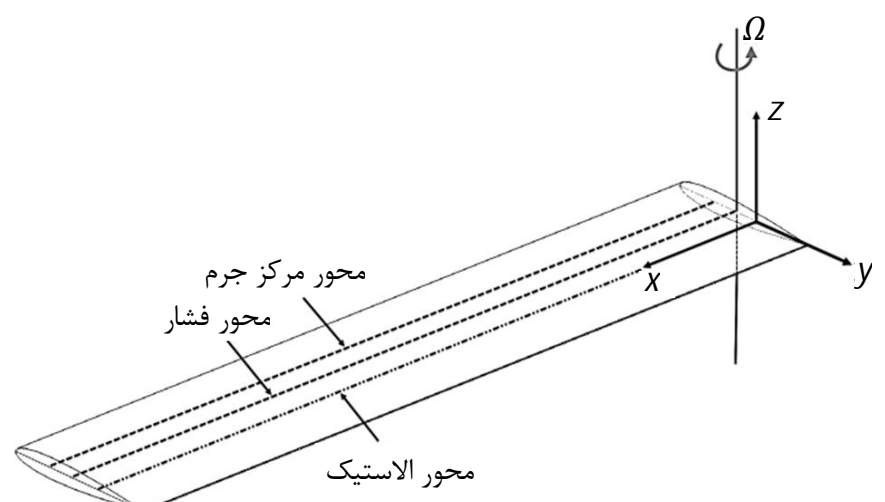
در این معادله مؤلفه اول ناشی از ممان موجود در صفحه عمود بر محور الاستیک و مؤلفه دوم ناشی از گشتاور پیچشی سن‌ونان است.

با جایگزینی معادله (2) در معادلات (5-3) معادلات (8-6) برای گشتاورهای الاستیک کل بر حسب تغییر مکان به دست می‌آید.

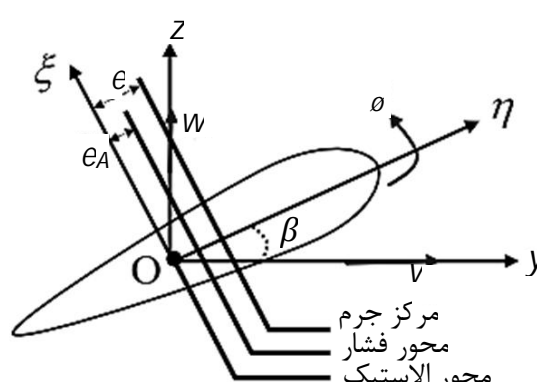
$$M_1 = EI_1(-v''\sin\beta + w''\cos\beta) \quad (6)$$

$$M_2 = EI_2(v''\cos\beta + w''\sin\beta) - Te_A - EB_2\beta'\phi' \quad (7)$$

$$Q = [GJ + TK_A^2 + EB_1(\beta')^2]\phi' + TK_A^2\beta' \\ - EB_2\beta'(v''\cos\beta + w''\sin\beta) \quad (8)$$



شکل 1 ارتعاشات ملخ گام متغیر



شکل 2 مقطع پره ملخ و مشخصات هندسی آن

شکل مود این تیرها رابطه (22) جهت تقریب شکل مود ملخ استفاده شده است. برای تخمین دقیق فرکانس‌ها، تعداد شکل مودهای به کار رفته در تخمین باید بی‌نهایت باشد، ولی در صورت استفاده از یک یا چند شکل مود هم عموماً نتایج قابل قبولی به دست می‌آید که در ادامه صحت این ادعا با نتایج بخش پسین اثبات می‌شود.

$$\begin{aligned} V_i(x) &= \cosh(\beta_i x) - \cos(\beta_i x) - \sigma_i [\sinh(\beta_i x) - \sin(\beta_i x)] \\ W_i(x) &= \cosh(\beta_i x) - \cos(\beta_i x) - \sigma_i [\sinh(\beta_i x) - \sin(\beta_i x)] \\ \sigma_i &= \frac{\cosh(\beta_i) + \cos(\beta_i)}{\sinh(\beta_i) + \sin(\beta_i)} \\ \Phi_i(x) &= \sqrt{2} \sin(\gamma_i x) \\ \gamma_i(x) &= 2k\pi + \frac{\pi}{2} \quad k = 0, 1, 2, \dots \end{aligned} \quad (22)$$

جهت سهولت استخراج معادلات ارتعاشات آزاد پره ملخ به روش گالرکین ابتدا معادلات (20-18) را بی‌بعد کرده که این بی‌بعدسازی بر حسب طول کل پره ملخ  $R$ ، انجام می‌شود. در نتیجه معادلات بی‌بعدشده بر حسب پارامتر  $r = x/R$  به صورت روابط (25-23) است.

$$\begin{aligned} -(GJ/R^2)\phi'' &+ \Omega^2 m(k_{m2}^2 - k_{m1}^2)\phi \cos 2\beta \\ &+ \Omega^2 m e(-v' \sin \beta + w' \cos \beta) \\ &+ \Omega^2 m e v \sin \beta - \omega^2 m k_m^2 \phi \\ &+ \omega^2 m(e v \sin \beta - w \cos \beta) = 0 \end{aligned} \quad (23)$$

$$\begin{aligned} [(EI_1 \cos^2 \beta + EI_2 \sin^2 \beta)w'' &+ (EI_2 - EI_1) \sin \beta \cos \beta v'']'/R^4 \\ &- (Tw')'/R^2 - (\Omega^2 m e x \cos \beta \phi)' \\ &- \omega^2 m(w + e \phi \cos \beta) = 0 \end{aligned} \quad (24)$$

$$\begin{aligned} [(EI_2 - EI_1) \sin \beta \cos \beta w'' &+ (EI_1 \sin^2 \beta + EI_2 \cos^2 \beta)v'']'/R^4 \\ &- (Tv')'/R^2 + (\Omega^2 m e x \phi \sin \beta)' \\ &+ \Omega^2 m e \phi \sin \beta \\ &- \omega^2 m(v - e \phi \sin \beta) - \Omega^2 m v = 0 \end{aligned} \quad (25)$$

روابط (25-23) را در توابع وزن مربوطه ضرب کرده و بر طول بی‌بعد پره ملخ انتگرال گرفته و نتیجه براساس روابط (28-26) خواهد بود.

$$\begin{aligned} \int_0^1 \sum_{j=1}^n \sum_{i=1}^n \left[ \phi_j \left\{ -\left(GJ/R^2\right) \frac{\partial^2 \phi_i}{\partial r^2} \right. \right. \\ \left. \left. + \Omega^2 m(k_{m2}^2 - k_{m1}^2)\phi_i \cos 2\beta \right. \right. \\ \left. \left. - \omega^2 m k_m^2 \phi_i \right\} \right. \\ \left. + \int_0^1 v_j \left\{ \Omega^2 m e r \left( -\frac{\partial v_i}{\partial r} \sin \beta \right) \right. \right. \\ \left. \left. + \Omega^2 m e v_i \sin \beta + \omega^2 m e v_i \sin \beta \right\} \right. \\ \left. + \int_0^1 w_j \left\{ \Omega^2 m e r \left( -\frac{\partial w_i}{\partial r} \cos \beta \right) \right. \right. \\ \left. \left. + \omega^2 m e (-w_i \cos \beta) \right\} \right] = 0 \end{aligned} \quad (26)$$

$$\begin{aligned} \int_0^1 \sum_{i=1}^n \sum_{j=1}^n \left[ w_j \left\{ \left( \frac{EI_1 \cos^2 \beta + EI_2 \sin^2 \beta}{R^4} \right) \frac{\partial^4 w_i}{\partial r^4} \right. \right. \\ \left. \left. - \left( \frac{\partial}{\partial r} \left( T \frac{\partial w_i}{\partial r} \right) \right) / R^2 - \omega^2 m w_i \right\} \right. \\ \left. + \int_0^1 v_j \left\{ \left( \frac{(EI_2 - EI_1) \sin \beta \cos \beta}{R^4} \right) \frac{\partial^4 v_i}{\partial r^4} \right. \right. \\ \left. \left. + \int_0^1 \sum_{j=1}^n \phi_j \left\{ \frac{\partial}{\partial r} \left( \Omega^2 m e r \cos \beta \phi_i \right) + \omega^2 m e \phi_i \cos \beta \right\} \right] = 0 \right. \end{aligned} \quad (27)$$

$p$  و  $q$  به ترتیب بارها و ممان‌های وارد به پره ملخ است که از بارها و ممان‌های اینرسی و آیرودینامیکی تشکیل شده‌اند. بارهای اینرسی حاصل از نیروی کوریولیس، ستاپهای عرضی و جانب مرکز و بارهای آیرودینامیکی  $L_y$  و  $L_z$  به ترتیب در اثر نیروی آیرودینامیکی جانبی و عمودی وارد بر صفحه دوران و  $M$  ممان آیرودینامیکی است بارها و ممان‌های آیرودینامیکی (به دلیل آن که بارهای خارجی هستند) به همان شکل سمبیلیک در معادلات باقی می‌مانند. معادلات این نیروها و ممان‌ها در رابطه (17) ارائه شده است.

$$\begin{aligned} \bar{p}_x &= -T' = \Omega^2 m x \\ \bar{p}_y &= L_y - m[\ddot{v} - \Omega^2(v + e_0)] \\ &\quad + m e[\ddot{\phi} \sin \beta \\ &\quad + \Omega^2(\cos \beta - \phi \sin \beta)] \\ \bar{p}_z &= L_z - m[\ddot{w} + e \ddot{\phi} \cos \beta] \\ \bar{q}_x &= M - \Omega^2 m e[(v + e_0) \sin \beta + e_0 \phi \cos \beta] \\ &\quad + m e(\ddot{v} \sin \beta - \dot{w} \cos \beta) \\ &\quad - \Omega^2 m(k_{m2}^2 - k_{m1}^2)(\sin \beta \cos \beta \\ &\quad + \phi \cos 2\beta) - m k_A^2 \ddot{\phi} \\ \bar{q}_y &= -\Omega^2 m e x(\sin \beta + \phi \cos \beta) \\ \bar{q}_z &= -\Omega^2 m e x(\cos \beta - \phi \sin \beta) \end{aligned} \quad (17)$$

با جایگزینی رابطه (17) در معادلات (16-14) و حذف نیروهای آیرودینامیکی و فرض این که سطح مقطع پره ملخ متقارن ( $e_A=B_1=B_2=0$ ) و  $(e_0=0)$  معادلات دیفرانسیل حرکت به صورت روابط (20-18) به دست می‌آید.

$$\begin{aligned} -(GJ)\phi'' &+ \Omega^2 m(k_{m2}^2 - k_{m1}^2)\phi \cos 2\beta \\ &+ \Omega^2 m e(-v' \sin \beta + w' \cos \beta) \\ &+ \Omega^2 m e v \sin \beta - \omega^2 m k_m^2 \phi \\ &+ \omega^2 m(e v \sin \beta - w \cos \beta) = 0 \end{aligned} \quad (18)$$

$$\begin{aligned} [(EI_1 \cos^2 \beta + EI_2 \sin^2 \beta)w'' &+ (EI_2 - EI_1) \sin \beta \cos \beta v'']' \\ &- (Tw')' - (\Omega^2 m e x \cos \beta \phi)' \\ &- \omega^2 m(w + e \phi \cos \beta) = 0 \end{aligned} \quad (19)$$

$$\begin{aligned} [(EI_2 - EI_1) \sin \beta \cos \beta w'' &+ (EI_1 \sin^2 \beta + EI_2 \cos^2 \beta)v'']' \\ &- (Tv')' + (\Omega^2 m e x \phi \sin \beta)' \\ &+ \Omega^2 m e \phi \sin \beta \\ &- \omega^2 m(v - e \phi \sin \beta) - \Omega^2 m v = 0 \end{aligned} \quad (20)$$

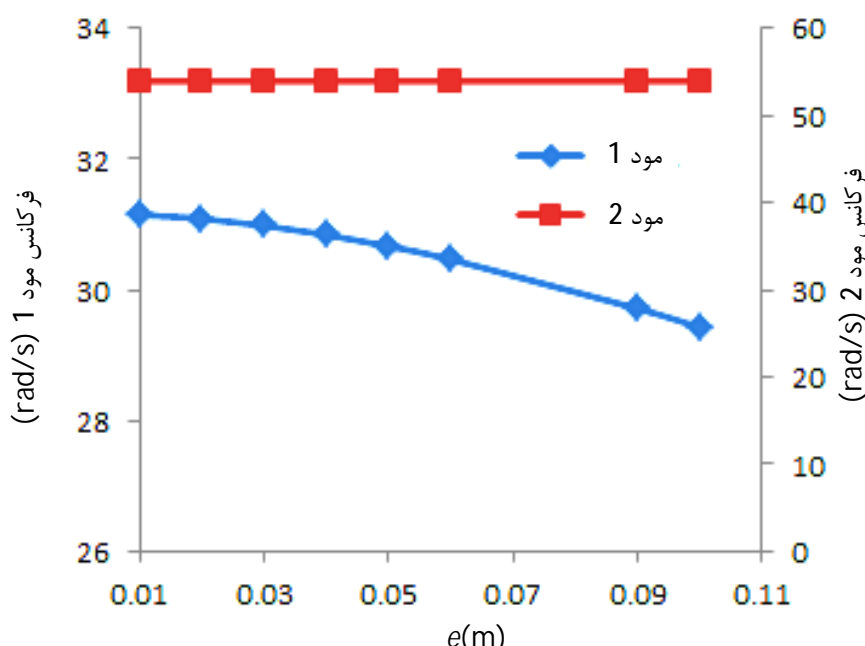
همان‌طور که مشاهده می‌کنید این معادلات کاملاً کوپل شده و غیرخطی است و نمی‌توان آن‌ها را به صورت تحلیلی و دقیق حل کرد. معادلات بالا توسط دو پارامتر زاویه تغییر گام (حمله)  $\beta$  و فاصله محور الاستیک در سه جهت به یکدیگر کوپل شده‌اند. در صورتی که  $\beta = 0$  باشد معادلات در دو جهت پیچشی و خمی خارج از صفحه کوپل شده و اگر  $\beta = 0$  باشد معادلات در دو جهت خمی خارج از صفحه و خمی داخل صفحه کوپل می‌شوند.

### 3- استخراج معادلات فرکانسی با استفاده از روش گالرکین

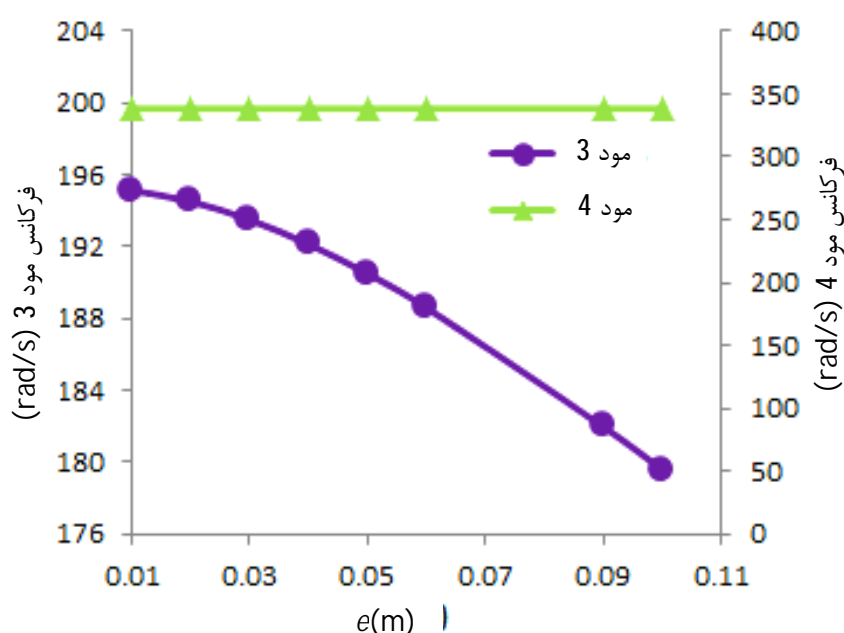
با توجه به این که برای معادلات بالا حل تحلیلی وجود ندارد جهت حل این معادلات از روش گالرکین استفاده می‌شود. در روش گالرکین از عبارت انتگرال وزنی رابطه (21) استفاده می‌شود. بر این اساس توابع تقریبی ( $\psi_i$ ) به عنوان شکل مود در معادلات قرار داده می‌شود و با ضرب تابع وزن ( $\psi$ ) در معادله و انتگرال‌گیری از آن ماتریس مقادیر ویژه تشکیل می‌شود. در روش گالرکین باید تابع وزن  $\psi$  برابر تابع تقریب  $\psi$  باشد.

$$A_{i,j} = \int \psi_i A(\gamma_i) \quad (21)$$

با توجه به این که شکل مود پره ملخ مشابه تیر یکسرگیردار است از توابع



شکل 4 تغییرات فرکانس‌های طبیعی مود اول و دوم ملخ بر حسب فاصله محور الاستیک از مرکز جرم



شکل 5 تغییرات فرکانس‌های طبیعی مود سوم و چهارم ملخ بر حسب فاصله محور الاستیک از مرکز جرم

سیر نزولی به خود می‌گیرند در حالی که فرکانس‌های مودهای زوج بدون تغییر باقی می‌مانند.

#### 5-2- بررسی اثر طول پره ملخ (R)

در مورد طول ملخ بررسی‌ها نشان می‌دهد که مطابق شکل 6 با افزایش طول پره ملخ همه فرکانس‌های طبیعی، چه زوج و چه فرد کاهش می‌یابد، ولی مودهای بالاتر تغییرات نزولی بیشتری دارند در حالی که مودهای پایین‌تر با شبیه ملایم‌تری کاهش می‌یابند.

#### 5-3- بررسی اثر سختی پیچشی (GJ)

در مورد سختی پیچشی بررسی‌ها نشان می‌دهد، مطابق شکل‌های 7 و 8 با افزایش این سختی فرکانس‌های مودهای فرد با شبیه بسیار کمی افزایش می‌یابد و فرکانس‌های مودهای زوج بدون تغییر باقی می‌مانند. در صورتی که این سختی به صورت تئوری صفر گردد، فرکانس‌های مودهای فرد از بین رفته و صفر می‌شوند که نشان‌دهنده وابستگی زیاد مودهای فرد به سختی پیچشی است.

#### 5-4- بررسی اثر سختی داخل صفحه دوران (EI<sub>1</sub>)

با توجه به نمودار شکل 9 برای سختی داخل صفحه دوران می‌توان مشاهده کرد که با افزایش این سختی (مانند سختی پیچشی) مودهای فرد افزایش

$$\int_0^1 \sum_{i=1}^n \sum_{j=1}^n \left[ v_j \left\{ \left( \frac{EI_1 \sin^2 \beta + EI_2 \cos^2 \beta}{R^4} \right) \frac{\partial^4 v_i}{\partial r^4} - \left( \frac{\partial}{\partial r} \left( T \frac{\partial v_i}{\partial r} \right) \right) / R^2 - \omega^2 m v_i - \Omega^2 m v_i \right\} + \int_0^1 w_j \left\{ \left( \frac{(EI_2 - EI_1) \sin \beta \cos \beta}{R^4} \right) \frac{\partial^4 w_i}{\partial r^4} + \int_0^1 \phi_j \left\{ \frac{\partial}{\partial r} (\Omega^2 m e r \phi_i \sin \beta) + \omega^2 m e \phi_i \sin \beta + \Omega^2 m e \phi_i \sin \beta \right\} \right] = 0 \quad (28)$$

معادلات بالا با استفاده از شرایط تعامد تا حدودی ساده شده و یک معادله ماتریسی را تولید می‌کند، که برای داشتن جواب غیرصفر معنی‌دار باید دترمینان آن صفر شود. با بسط معادله مشخصه دترمینان، فرکانس‌های طبیعی پره ملخ استخراج می‌شود.

#### 4- صحبت‌سنگی روش حل ارائه شده

برای اطمینان از صحبت روش حل گالرکین ارائه شده برای پره ملخ، روابط (28-26) به زبان متلب کدنویسی و با استفاده از سه مود حل شده و نتایج به دست آمده با یکی از مقالات مرجع [4] که از روش ماتریس انتقال استفاده کرده در جدول 1 آورده شده است. ورودی‌های مسئله به شرح زیر است.

$EI_1 = 7.316 \text{ kg.m}^2$ ,  $EI_2 = 21.948 \text{ kg.m}^2$ ,  $GJ = 2.634 \text{ kg.m}^2$ ,  
 $R = 1.016 \text{ m}$ ,  $\beta = 45^\circ$ ,  $m = 0.862 \text{ kg/m}$ ,  $e = 0.036 \text{ m}$ ,  $k_m = 0.036 \text{ m}$   
 مقایسه نتایج به دست آمده در جدول 1 تطابق خوبی را نشان می‌دهد و همان‌طور که مشهود است نتایج هم‌خوانی بسیار خوبی با مرجع [4] دارد و تفاوت پاسخ‌ها ناچیز است.

#### 5- تحلیل فرکانسی

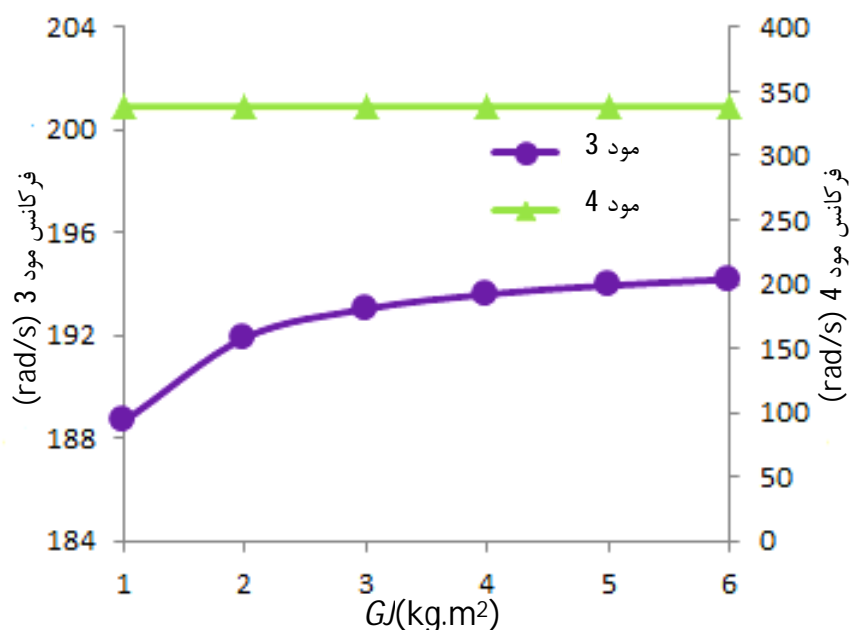
حال می‌توان به روش ارائه شده اطمینان حاصل کرد و به بررسی عناصر مختلف بر رفتار فرکانسی ملخ پرداخت تا بدین وسیله تأثیرات این پارامترها مشخص شود. در مرجع [4] نشان داده شده است که اگر فرکانس‌های طبیعی به دست آمده به ترتیب از کمترین فرکانس تا بیشترین آن شماره‌گذاری شوند، فرکانس مودهای ارتعاشی به دو دسته فرد و زوج تقسیم‌بندی می‌شوند و مشاهده می‌شود که فرکانس مودهای فرد در اثر کوپل پیچشی - خمسی داخل صفحه اتفاق می‌افتد و فرکانس مودهای زوج، تنها به خمس خارج از صفحه دوران وابسته‌اند. بر این اساس می‌توان انتظار داشت که تغییرات فرکانس‌های مودهای زوج یا فرد نسبت به برخی پارامترها اتفاق افتد.

#### 5-1- بررسی اثر فاصله بین مرکز جرم و مرکز الاستیک

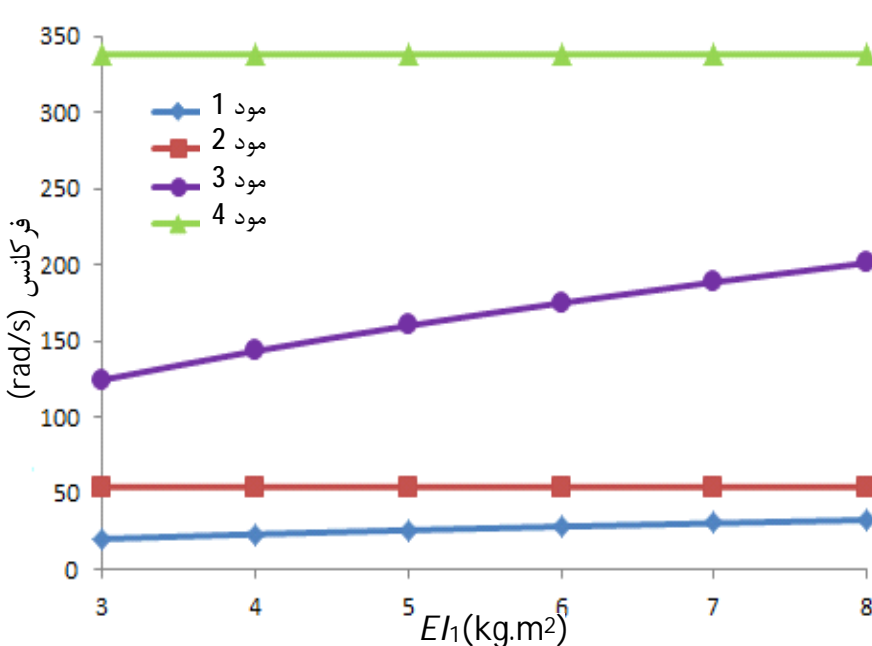
نمودارهای شکل 4 و 5 که در هر کدام فرکانس‌های یک مود زوج و یک مود فرد قرار دارد، نشان می‌دهد که با تغییر فاصله بین مرکز جرم و مرکز الاستیک فرکانس مودهای فرد تغییر کرده و با افزایش این فاصله فرکانس‌ها

جدول 1 مقایسه فرکانس‌های ارتعاشی ملخ

انتقال ماتریسی [4]	روش حاضر	شماره مود
30/8374	30/9044	1
53/8403	53/9936	2
184/5628	192/726	3
337/4104	338/2605	4
482/3053	529/6149	5



شکل 8 تغییرات فرکانس‌های طبیعی مود سوم و چهارم ملخ بر حسب سختی پیچشی

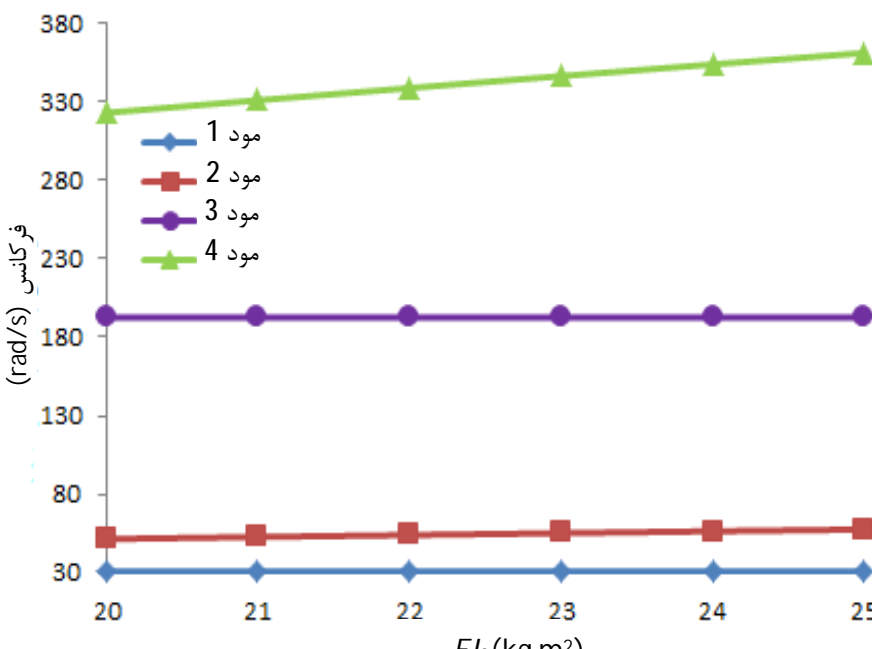


شکل 9 تغییرات فرکانس‌های طبیعی ملخ بر حسب سختی داخل صفحه دوران

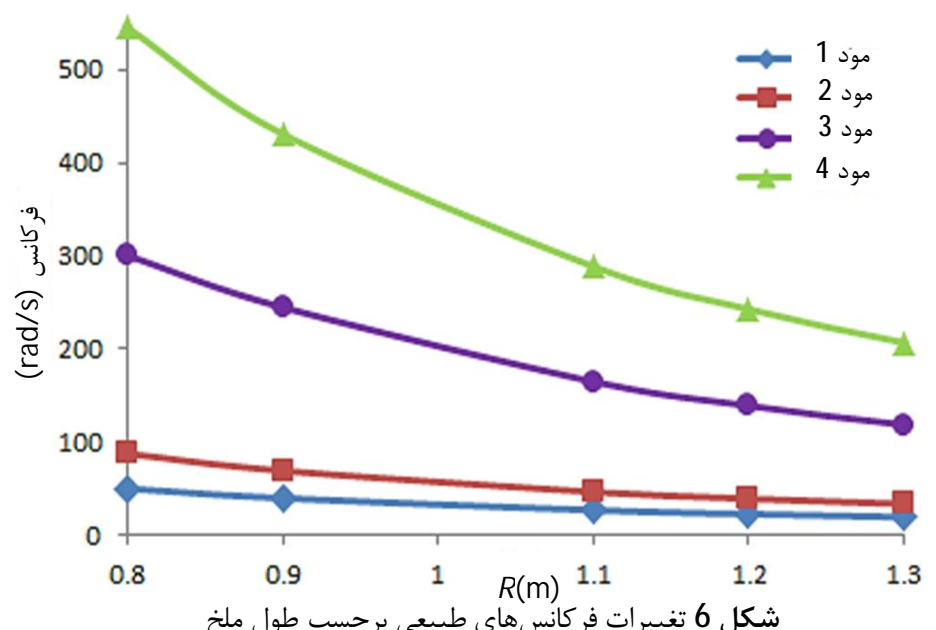
می‌یابند که مشابه تأثیر پارامتر طول ملخ و همین‌طور مودهای بالاتر با شیب بیشتری و مودهای پایین‌تر با شیب ملایم‌تری کاهش می‌یابند.

#### 5-7- بررسی اثر شعاع ژیراسیون قطبی محور الاستیک ملخ

تغییرات این پارامتر نیز مشابه پارامتر فاصله محور الاستیک از مرکز جرم است که نتایج آن در شکل‌های 12 و 13 آمده است. همان‌گونه که مشاهده می‌شود با افزایش شعاع ژیراسیون قطبی مودهای فرد کاهش یافته یعنی مودهای فرد تغییر می‌یابند و فرکانس مودهای زوج تغییری نمی‌یابد. به دلیل



شکل 10 تغییرات فرکانس‌های طبیعی ملخ بر حسب سختی خارج از صفحه دوران



شکل 6 تغییرات فرکانس‌های طبیعی بر حسب طول ملخ

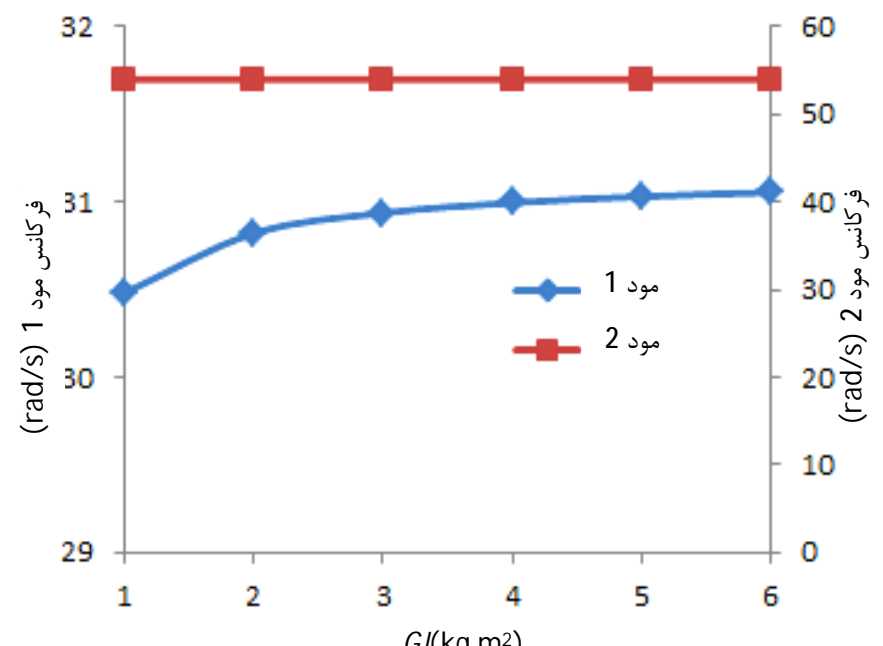
می‌یابد و مودهای زوج بدون هیچ‌گونه تغییری باقی می‌مانند با این تفاوت که تأثیر این سختی نسبت به سختی پیچشی بر مودهای فرد بسیار بیشتر است. در این حالت فرکانس‌های مودهای فرد با سرعت بیشتری افزایش می‌یابند و مودهای فرد بالاتر تغییرات صعودی بیشتری دارند در حالی که مودهای فرد پایین‌تر با شیب ملایم‌تری افزایش می‌یابند، همچنین در صورت صفر شدن این سختی به صورت تئوری مانند سختی پیچشی فرکانس‌های مربوط به مودهای فرد صفر می‌شود و فرکانس‌های زوج همچنان بدون تغییر باقی می‌مانند.

#### 5-5- بررسی اثر سختی خارج از صفحه دوران ( $EI_2$ )

مطابق نمودار شکل 10، با افزایش سختی خارج از صفحه دوران برخلاف دو سختی داخل صفحه و پیچشی این بار مودهای فرد هیچ‌گونه تغییری نمی‌یابند، ولی فرکانس‌های مودهای زوج افزایش می‌یابند و همچنین برخلاف دو سختی پیش با صفر شدن این سختی در معادلات به صورت تئوری فرکانس‌های مودهای زوج صفر می‌شود و مودهای فرد بدون هیچ تغییری باقی می‌مانند که این نشان از آن دارد که مودهای زوج کاملاً به این سختی وابستگی دارند.

#### 5-6- بررسی اثر جرم پره ملخ

در مورد جرم بر واحد طول ملخ مطابق شکل 11 می‌توان مشاهده کرد که با افزایش چگالی طولی پره ملخ تمامی فرکانس‌های مودهای فرد و زوج کاهش



شکل 7 تغییرات فرکانس‌های طبیعی مود اول و دوم ملخ بر حسب سختی پیچشی

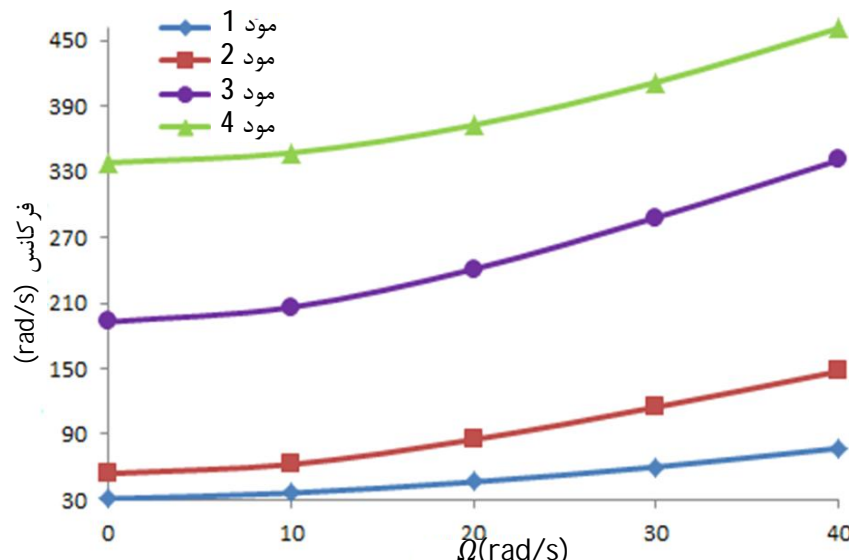
دورانی ملخ همه فرکانس‌های طبیعی پره آن، اعم از زوج یا فرد افزایش یافته به طوری که با افزایش دوران ملخ به 40 رادیان بر ثانیه فرکانس‌های طبیعی مودهای اول تا سوم آن تقریباً دو برابر شده‌اند که این مورد نشان از تأثیر بهسزای دوران ملخ بر فرکانس‌های طبیعی آن دارد و این اثر کاملاً برخلاف اثرات افزایش جرم و طول واحد ملخ است.

#### 5-9- بررسی اثر تغییر گام بر ارتعاشات ملخ

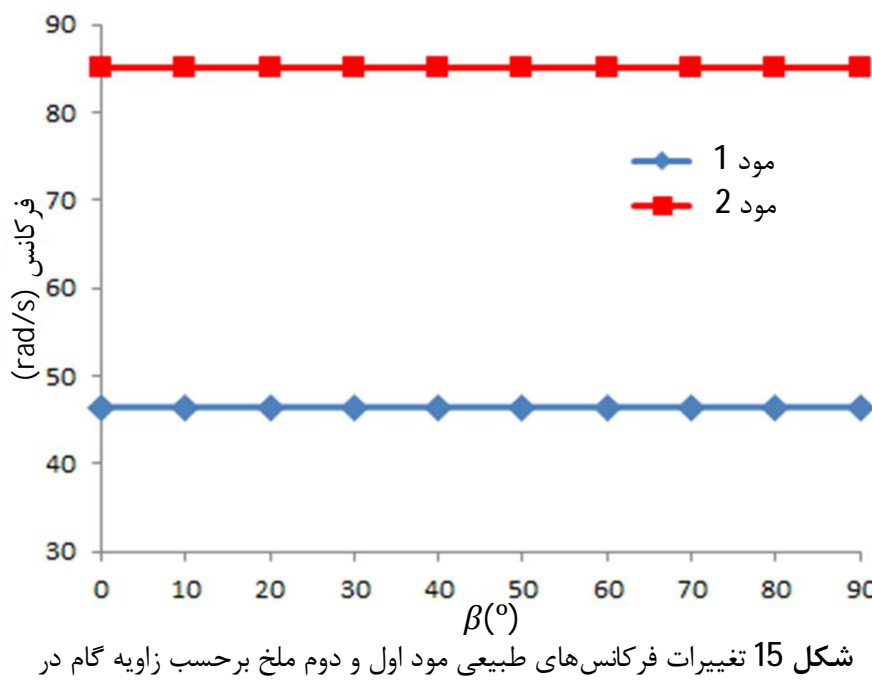
این پارامتر در دو حالت استاتیک (بدون سرعت دورانی) و با سرعت دورانی مورد مقایسه قرار گرفت. این زاویه همان زاویه حمله پره است که در اصطلاح به آن زاویه تغییر گام می‌گویند، زیرا بدین‌وسیله مقدار پیمایش پره ملخ در حرکت افقی در یک دور کامل پره تغییر می‌یابد. مطابق شکل 15 با افزایش زاویه گام ملخ در حالت استاتیک هیچ تأثیری بر فرکانس‌های طبیعی پره مشاهده نگردید، ولی در حالت دورانی ملخ براساس نمودار 16 با افزایش آن فرکانس‌های طبیعی ملخ به صورت سینوسی و کسینوسی کم یا زیاد می‌شوند. بدین‌صورت که مودهای فرد سینوسی و مودهای زوج کسینوسی تغییر می‌یابند و دارای دوره تناوب 90 درجه است. تمامی مودهای دارای دو بیشینه، که مقدار بیشینه اول کوچک‌تر از بیشینه دوم است. در مود اول، بیشینه اول در زاویه 10 درجه و بیشینه دوم در 55 درجه رخ می‌دهد. شایان یاد است که در مودهای بالاتر اختلافات بین این دو بیشینه به‌طور متناسب کاهش می‌یابد.

#### 6- نتیجه‌گیری

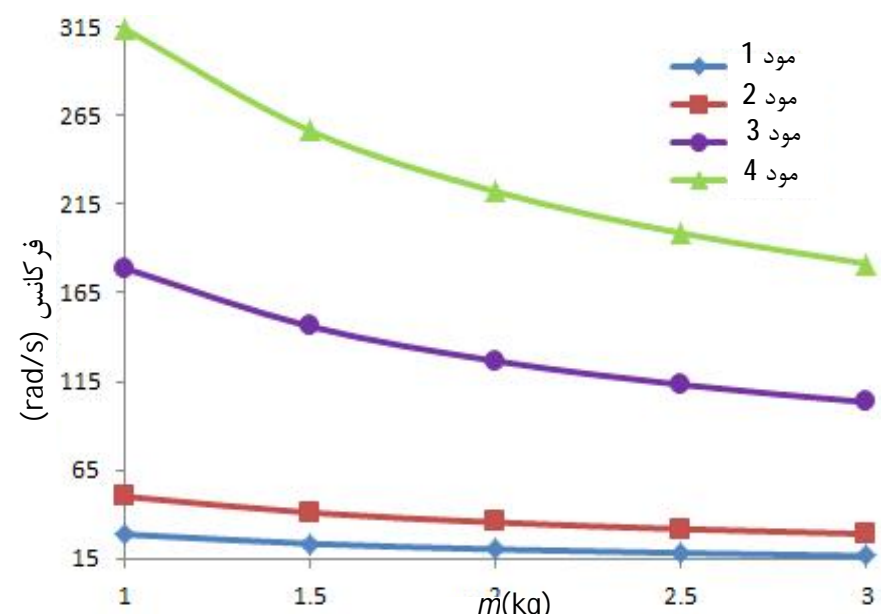
همان‌طور که از نمودارها (نتایج) پیداست پارامترهای سرعت دورانی، طول و



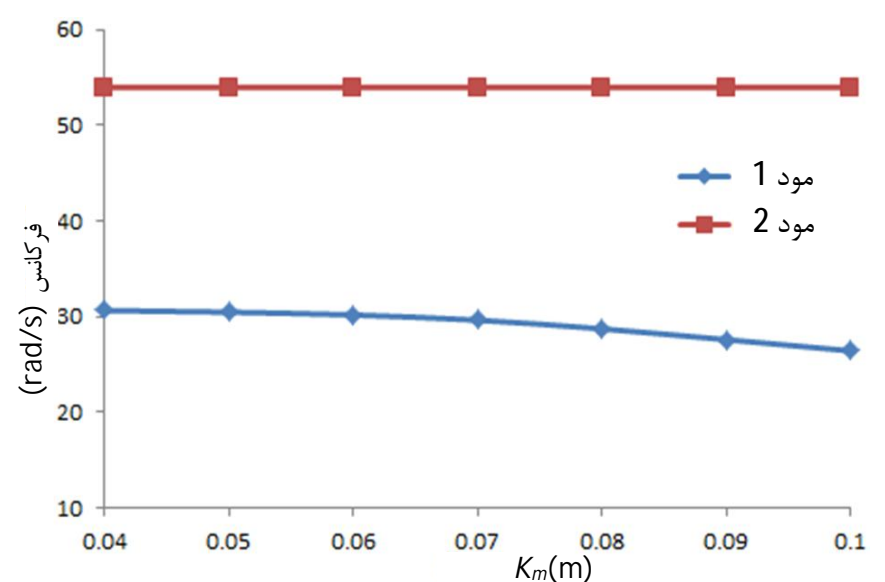
شکل 14 تغییرات فرکانس‌های طبیعی ملخ بر حسب سرعت دورانی



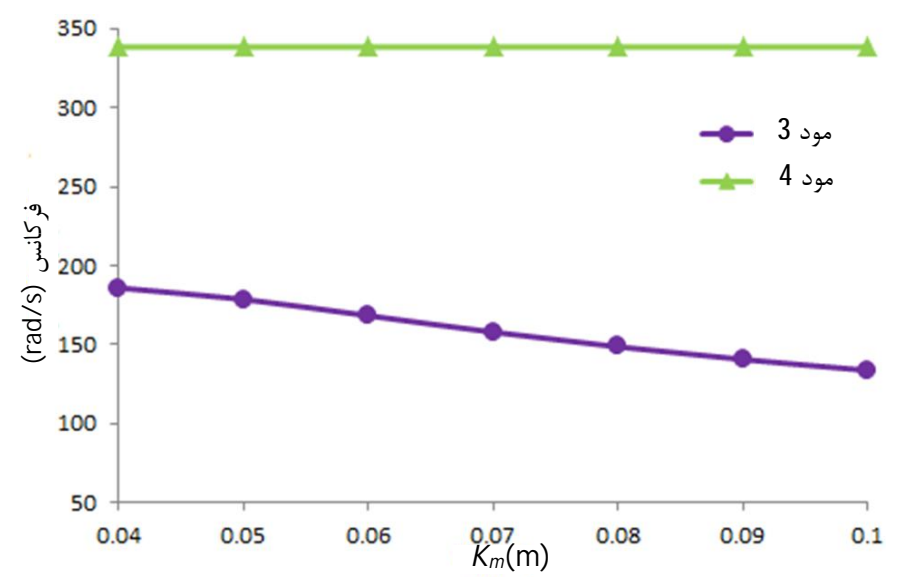
شکل 15 تغییرات فرکانس‌های طبیعی مود اول و دوم ملخ بر حسب زاویه گام در حالت غیردورانی (استاتیک)



شکل 11 تغییرات فرکانس‌های طبیعی بر حسب جرم ملخ



شکل 12 تغییرات فرکانس‌های طبیعی مود اول و دوم ملخ بر حسب ساعت ژیراسیون قطبی جرمی



شکل 13 تغییرات فرکانس‌های طبیعی مود سوم و چهارم ملخ بر حسب ساعت ژیراسیون قطبی جرمی

این که در معادلات (معادله 26) ساعت ژیراسیون قطبی تنها به حرکت پیچشی وابسته است، تغییرات این پارامتر قابل پیش‌بینی بود، همچنین تغییرات این پارامتر (مشابه پارامتر فاصله محور الاستیک)، در واقعیت به شکل ظاهری ایرفویل و جنس مواد به کار رفته در آن بستگی دارد.

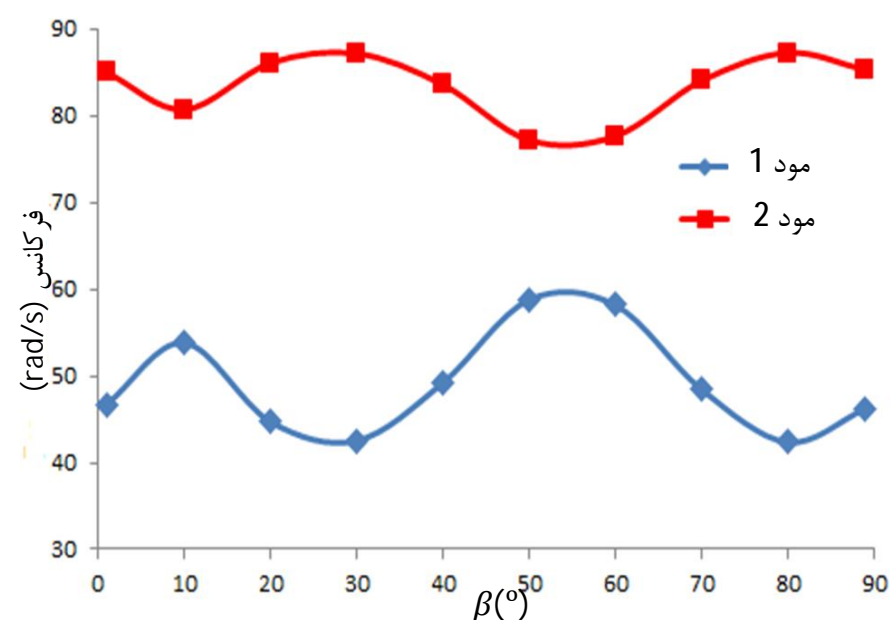
#### 5-8- بررسی اثر سرعت دورانی پره ملخ

اثرات سرعت دورانی پره ملخ بر فرکانس‌های طبیعی آن در شکل 14 به‌طور یک‌جا نشان داده شده است. همان‌طور که مشاهده می‌شود، با افزایش سرعت

بارهای واردہ به پره	$p_x, p_y, p_z$
گشتاور پیچشی حول محور الاستیک	$Q$
ممانهای واردہ به پره	$q_x, q_y, q_z$
طول پره ملخ (m)	$R$
کشش طولی پره	$T$
ضخامت مقطع پره ملخ	$T$
جابه‌جایی‌های خمی پره	$v, w$
محورهای مختصات اصلی	$x, y, z$
علامی یونانی	
زاویه حمله پره	$\beta$
کرنش پره	$\varepsilon$
کرنش حاصل از کشش پره (دوران)	$\varepsilon_T$
محورهای فرعی پره	$\xi, \eta$
تنش پره	$\sigma$
تغییر شکل پیچشی پره	$\Phi$
سرعت دورانی پره	$\Omega$
فرکانس طبیعی پره	$\omega$

## 8- مراجع

- J.C. Houbolt, G.W.Brooks, Differential equations of motions for combined flap wise bending and torsion of twisted non-uniform rotor blades. NACA Report 1346, 1958.
- Hunter, W.F., The Integrating Matrix Method for Determining the Natural Vibration Characteristics of Propeller Blades. NASA TN D-6064, 1970.
- W. F. White, R.E. Malatino, A Numerical Method for Determining the Natural Vibration Characteristics of Rotating Nonuniform Cantilever Blades. NASA TM X-72,751, 1975.
- Murthy, V.R., Dynamic characteristics of rotor blades. Journal of Sound and Vibration, Vol.49: p. 483-500, 1976.
- Murthy, V.R., Dynamic characteristics of rotor blades, Integrating matrix method. American Institute of Aeronautics and Astronautics Journal(AIAA), Vol. 115(4): p. 595-597, 1977.
- A.D. Wright, E. Smith, R.W. Thresher, J.L.C. Wang, Vibration modes of centrifugally stiffened beams. ASME Journal of Applied Mechanics, Vol.49(3): p. 197-202, 1982.
- Reddy, J.N., An Introduction to Finite Element Method, 2nd ed. Vol. 1. 2000.
- G. Surace, V. Anghel, C. Mares, Coupled bending-bending-torsion vibration analysis of rotating pretwisted blades: an integral formulation and numerical examples. Journal of Sound and Vibration, Vol. 206(4): p. 473-486, 1997.
- Bazoune, A., Relationship between Softening and Stiffening Effects in Terms of South Well Coefficients. Journal of Sound Vibration, 287: p. 1027-1030, 2005.
- A. Bazoune, Y.A. Khulief., N.G. Stephen, Further Results for Modal Characteristics of Rotating Tapered Timoshenko Beams. Journal of Sound and Vibration, 129: p. 157-174, 1999.
- H. H. Yoo, S.H. Shin, Vibration analysis of rotating cantilever beams. Journal of Sound and Vibration, 212(5): p. 807-828, 1998.
- Bramwell, A.R.S., Helicopter Dynamic's. 2001.
- S. A. Mousavi, M.R.Elhami, H. Taeb, The Rotorcraft blades modal testing and analysis. Journal of Sound and Vibration, 6: p. 22-32, 2015. (In Persian)
- S.A. Mousavi, M.R. Elhami, Modal analysis of a rotor with two blades with finite element method and experimental test. 4th International Conference on Acoustics and Vibration, 2014. (In Persian)
- Lin, S.M., The instability and vibration of rotating beams with arbitrary pretwist and an elastically restrained root. ASME Journal of Applied Mechanics, Vol.68: p. 844-853, 2001.
- S. M. Lin, C. Tien, S. Y. Lee, Free vibrations of rotating non-uniform beam with arbitrary pretwist, an elastically restrained root and a tip mass. Journal of Sound and Vibration, 273(3): p. 477-492, 2004.
- S.M. Lin, S.Y. Lee, W.R. Wang, Dynamic analysis of rotating damped beams with an elastically restrained root. International Journal of Mechanical Sciences, Vol.46: p. 673-693, 2004.
- S.S. Rao, R.S. Gupta, Finite Element Vibration Analysis of Rotating Timoshenko Beams. Journal of Sound and Vibration, 242: p. 103-124, 2001.
- H. Moeenfarad, B.Moetakef Imani, M. Davoudi, A. Rahimzadeh, Dynamic instability in tapered beams under wind excitation, Modares Mechanical



شکل 16 تغییرات فرکانس‌های طبیعی مود اول و دوم ملخ بر حسب زاویه گام در حالت دورانی

جرم پره ملخ بر فرکانس‌های طبیعی تمامی مودهای ارتعاشی تأثیر می‌گذارند. با افزایش طول و جرم واحد پره ملخ، فرکانس‌ها کاهش یافته، ولی با افزایش سرعت دورانی فرکانس‌ها افزایش می‌یابند. در مورد پارامترهای سختی‌پیچشی، سختی داخل صفحه دوران، فاصله بین مرکز جرم تا محور الاستیک و شعاع ژیراسیون قطبی، می‌توان بیان کرد که این پارامترها تنها بر فرکانس‌های طبیعی مودهای ارتعاشی فرد تأثیر گذاشته و فرکانس مودهای زوج ثابت باقی می‌مانند که با افزایش فاصله بین مرکز جرم و الاستیک و شعاع ژیراسیون قطبی فرکانس‌های طبیعی کاهش، ولی با افزایش سختی‌پیچشی و سختی داخل صفحه دوران، فرکانس‌های طبیعی افزایش می‌یابند. در مورد پارامتر سختی خارج از صفحه همان‌طور که ملاحظه شد، تنها پارامتری است که بر فرکانس طبیعی مودهای ارتعاشی زوج تأثیر می‌گذارد و بر فرکانس مودهای فرد بی‌تأثیر است و با افزایش آن فرکانس‌های زوج افزایش می‌یابند.

در پایان نیز با افزایش یا کاهش زاویه تغییر گام پره ملخ، همان‌طور که مشاهده شد فرکانس‌های طبیعی تمامی مودهای ارتعاشی ملخ در حالت غیردورانی هیچ گونه تغییری نمی‌یابند، ولی با افزایش یا کاهش آن در حالت دورانی فرکانس‌های مودهای فرد به صورت سینوسی و مودهای زوج به صورت کسینوسی حول فرکانس‌های حالت استاتیکی (میانگین) تغییر می‌یابند.

## 7- فهرست علائم

ثابت‌های سطح مقطع ملخ (Pa)	$B_1, B_2$
مدول الاستیک (Pa)	E
فاصله بین مرکز جرم و محور الاستیک (m)	E
فاصله بین محور فشار و محور الاستیک (m)	$e_A$
فاصله ریشه پره از محور دوران(m)	$e_0$
مدول الاستیسیته برشی (Pa)	G
ممانهای اینرسی حول محورهای فرعی ( $m^4$ )	$I_1, I_2$
ممان اینرسی پیچشی ( $m^4$ )	J
شعاع ژیراسیون قطبی (m)	$K_m$
بارهای آبرودینامیکی جانبی و عمود بر صفحه دوران	$L_y, L_z$
ممان آبرودینامیکی وارد بر پره	M
ممانهای اینرسی حول محور الاستیک	$M_1, M_2$
ممانهای اینرسی حول محورهای اصلی	$M_x, M_y, M_z$
جرم واحد طول پره ( $\text{kgm}^{-1}$ )	m

- [23] B. Yardimoglu, D.J. Inman, Coupled bending-bending-torsion vibration of a pre-twisted beam with airfoil cross-section by the finite element method, *Shock and Vibration*, 10: p. 223-230, 2003.
- [24] H. Gokdag, O. Korpaz, Coupled bending and torsional vibration of a beam with in-span and tip attachments. *Journal of Sound and Vibration*, 287: p. 591-610, 2005.
- [25] T.H. Patel, A.K. Darpe, Coupled bending-torsional vibration analysis of rotor with rub and crack. *Journal of Sound and Vibration*, 326: p. 740-752, 2009.
- [26] Voros, G.M., On coupled bending-torsional vibrations of beams with initial loads. *Mechanics Research Communications*, 36: p. 603-611, 2009.
- Engineering, 15: p. 153-161, 2015.(In Persian)
- [20] R. Warikoo, M.R. Haddara, Analysis of Propeller Shaft Transverse Vibrations, *Marine Structures*,: p. 255-279, 1992.
- [21] R.E.D. Bishop, S.M. Cannon, S. Miao, On Coupled Bending and Torsional Vibration of Uniform Beams. *Journal of Sound and Vibration*, 3: p. 457-464, 1989.
- [22] L. Jun, L. Wanyou, S. Rongying, H. Hongxing, Coupled bending and torsional vibration of nonsymmetrical axially loaded thin-walled Bernoulli-Euler beams. *Mechanics Research Communications*,: p. 697-711, 2004.